

Newton Iteration per il segno di matrice:

$$X_0 = M$$

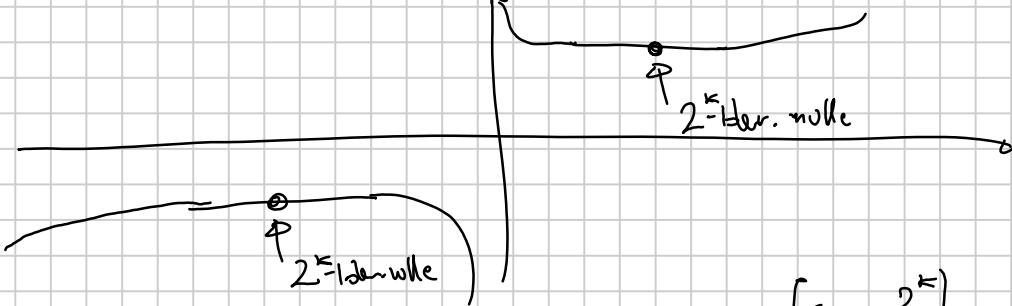
$$X_{k+1} = \frac{1}{2}(X_k + X_k^{-1})$$

$$\lambda_{i,k+1} = \frac{1}{2}(\lambda_{i,k} + \frac{1}{\lambda_{i,k}})$$

$$g(x) = \frac{1}{2}\left(x + \frac{1}{x}\right)$$

$g^{(k)}(x)$ è una funz. nr. di grado $(2^k, 2^{k-1})$

dove che $g(x) = \pm 1 + O(x^{2^k})$ per $x \rightarrow \pm 1$



Fatti (che non proviamo):

$$g^{(k)}(x) = \begin{cases} (x+1)^{2^k} & \text{even} \\ (x+1)^{2^k} & \text{odd} \end{cases} = \frac{(1+x)^{2^k} + (1-x)^{2^k}}{(1+x)^{2^k} - (1-x)^{2^k}}$$

$$\text{Sign}(x) = \frac{x}{(x^2)^{1/2}} = \frac{(x^2)^{1/2}}{x} \approx \frac{P(x^2)/Q(x^2)}{x}, \text{ dove } \frac{P(x)}{Q(x)}$$

è un'appr., d. Padé
di \sqrt{x} in 1

Se x grande, $g(x) = \frac{1}{2}\left(x + \frac{1}{x}\right) \approx \frac{1}{2}x$

Trucco: posso rimpicciolare A di cui devo calcolare segno con più
per $\mu > 0$

se $|\Lambda(A)| \subseteq [10^3, 10^7]$, es., non riesco ad avere tutti

dell'ordine dell'unità. Tipicamente, si cerca di ottenere un intervallo "centrato in 1" nel senso di una scala logaritmica, cioè

$$\left| \lambda_{\min}(\mu A) \lambda_{\max}(\mu A) \right| = 1 \quad \text{"spectral scaling"}$$

$$\mu^2 \left| \lambda_{\min}(A) \lambda_{\max}(A) \right| = 1 \quad \mu = \frac{1}{\sqrt{\lambda_{\min}(A) \lambda_{\max}(A)}}$$

Se A non ha valori reali, posso usare valori comp./immag:

"norm scaling"

$$G_{\min}(MA) \cdot G_{\max}(MA) = 1 \Rightarrow \mu = \frac{1}{\sqrt{G_{\min}(A) G_{\max}(A)}} \\ \left\| (\mu A)^{-1} \right\|_F \cdot \left\| \mu A \right\|_F$$

Basta un ordine di grandezza \Rightarrow basta qualche passo di un metodo delle potenze.

Altre possibilità: "determinantal scaling"

$$\det(\mu A) = 1 \Rightarrow \mu^n \det(A) = 1 \quad \mu = \frac{1}{\det(A)^{1/n}}$$

dovendo calcolare $A^{-1} \Rightarrow A = LU$, $U^{-1}L^{-1} \Rightarrow \det(A) = \det(U)$ "pratico"

Quindi le faccio anche a ogni singolo passo:

$$X = A$$

for $k = 1, \dots$

calcolo μ

$$A = \mu A$$

$$A = \frac{1}{2}(A + A^{-1})$$

end

stessa fatt. LU

$\operatorname{sign}(A)$ nel cond. se $\operatorname{sep}(\Lambda(A) \cap \mathbb{C}_{HP}, \Lambda(A) \cap \mathbb{C}_{NHP})$ piccola

\Rightarrow cattiva stabilità (in oriento) se sep piccola

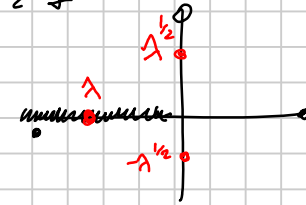
Pertanto, i sottospazi inv. prodotti sono stabili come quelli di schur(...)

Prossima funzione: $A^{\frac{1}{2}}$, radice quadrata principale

definita se A non lo autoval. λ con molteplicità > 1

e non lo autoval. reali negativi

(perché così $\exists !$ radice quadrata $\subseteq \text{RHP}_{\text{(aperto)}}$)



$A^{\frac{1}{2}}$ nel condizionale se λ lo autoval. piccoli in modulo.

autoval. vicini al "taglio"

$$\frac{f(\lambda_i) - f(\lambda_j)}{\lambda_i - \lambda_j}$$

(autoval. di $\tilde{L}(A)$ sono $f[\lambda_i, \lambda_j] = \begin{pmatrix} & \\ & f'(\lambda_j) \end{pmatrix}$)

Metodo tipo-Schur:

$$1) A = Q T Q^*$$

$$f(T) = S$$

$$2) \text{calcolo } S_{ii} = t_{ii}^{\frac{1}{2}}$$

$$3) \text{calcolo } S_{ij} \text{ tramite ricorrenza derivata da } ST = TS$$

$$4) f(A) = Q S Q^*$$

$$S_{ij} = \frac{\dots}{t_{ii} - t_{jj}} \quad \begin{array}{l} \text{inabilità} \\ \text{ci sono due autoval.} \\ \text{vicini } t_{ii} \approx t_{jj} \end{array}$$

Nel caso delle radice quadrate, c'è una manica che migliora le cose:

$$3') \text{calcolo } S_{ij} \text{ con ricorrenza derivata da } S^2 = T$$

$$\left[\overbrace{\dots}^{S} \overbrace{\dots}^{S_{ii} S_{i+1,i} \dots S_{in}} \right] \cdot \left[\overbrace{\dots}^{S_{ij}} \overbrace{\dots}^{S_{jj}} \right] = \left[\overbrace{\dots}^{T_{ij}} \right]$$

$$S_{ii} S_{ij} + S_{i+1,i} S_{i+1,j} + \dots + S_{i,j-1} S_{j-1,j} + S_{ij} S_{jj} = t_{ij}$$

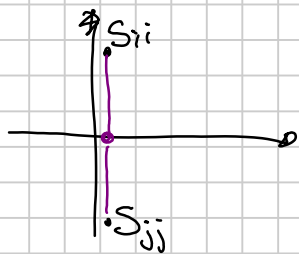
$$S_{ij} = \frac{t_{ij} - \sum_{k=i+1}^j S_{ik} S_{kj}}{S_{ii} + S_{jj}}$$

+ not se lavora per sostituzione
"che deg. alla w/o"

$$S_{ii} + S_{jj}$$

\Rightarrow rischio instabilità se $S_{ii} + S_{jj}$ piccolo,

$$\text{però } S_{ii}, S_{jj} \in \mathbb{R}\text{HP} \Rightarrow \operatorname{Re}(S_{ii} + S_{jj}) > 0$$



$S_{ii} + S_{jj}$ piccolo sse t_{ii}, t_{jj} sono vicini all'asse reale negativo da due lati diversi

Si riesce a dire qualcosa sulla stabilità con analisi errore all'interno

$$S_{ij} = \text{fl} \left(\hat{t}_{ij} - \sum_{k=i+1}^{j-1} \hat{S}_{ik} \hat{S}_{kj} \right)$$

errore limitato da

$$n u \sum_{k=i+1}^{j-1} |\hat{S}_{ik}| |\hat{S}_{kj}|$$

$$\hat{S}^2 = T + ST$$

$$|ST| \leq |S|^2 O(nu)$$

Non è stabilità all'interno, perché non ho $\|ST\| \leq \|T\|$

$$\text{ma solo (pensando a norme)} \quad \|ST\| \leq \|S\|^2$$

non potenzialmente instabile se c'è cancellazione e $\|S\|$ è più grande di $\|T\|^\frac{1}{2}$

Metodi basati su approssimazione con polinomi:

1) metodo di Newton su $f(x) = X^3 - A$ $f: \mathbb{R}^{n^2} \rightarrow \mathbb{R}^{n^2}$; riflettendo

e posso pensare di usare Newton

$$L_{f,X}[E] = EX + XE$$

Metodo di Newton

$$X_{k+1} = X_k - H \quad H = L_{f,X_k}^{-1}[f(X_k)] \quad \leftrightarrow \quad L_{f,X_k}[H] = f(X_k)$$

$$X_k H + H X_k = X_k^3 - A$$

+ risolvo eq. di Sylvester,
posso di Newton

Troppo costoso!

Il metodo di Newton scalare su $f(x) = x^2 - a$ direbbe $x_{k+1} = x_k - \frac{x_k^2 - a}{2x_k}$

Trasformando scalari in matrici, otterrei $X_{k+1} = X_k - (2X_k)^{-1}(X_k^2 - A)$

Non op. si: Sylvestre, ma H_k^{-1} inverse!

Se X_0 commuta con A (per esempio, $X_0 = \alpha I$, $X_0 = A$, ...)

allora X_1, X_2, X_3, \dots commuteranno con A in questa iterazione,

e l'incremento H_k soddisfa

$$X_k H_k + H_k X_k = 2X_k H_k = X_k^2 - A \Rightarrow \text{Newton modificato}$$

coincide con Newton in \mathbb{R}^{n^2}

Iterazione di Newton modificata:

$$X_0 = \underline{\alpha I}, \text{ oppure } \alpha I$$

$$X_{k+1} = X_k - (2X_k)^{-1}(X_k^2 - A) = \frac{1}{2} X_k^{-1} (2X_k^2 - X_k^2 + A)$$

$$= \frac{1}{2} X_k^{-1} (X_k^2 + A) = \underline{\frac{1}{2} (X_k + X_k^{-1} A)}$$

quasi uguale a Newton per il segno

C'è una relazione tra i due metodi:

$$A^{-\frac{1}{2}} X_{k+1} = A^{-\frac{1}{2}} \cdot \frac{1}{2} (X_k + X_k^{-1} A) = \frac{1}{2} (A^{-\frac{1}{2}} X_k + (A^{-\frac{1}{2}} X_k)^{-1})$$

$$Y_{k+1} = \frac{1}{2} (Y_k + Y_k^{-1})$$

In particolare, $Y_k \rightarrow \text{sign}(Y_0)$ quadraticamente

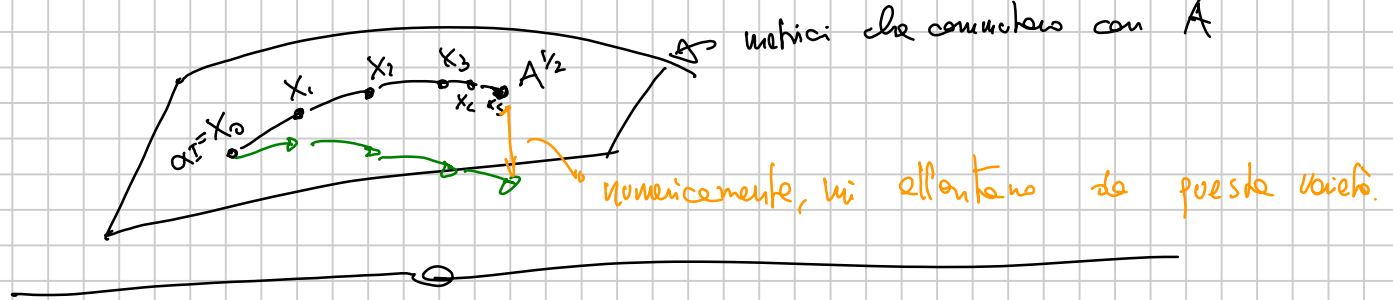
$$Y_0 = A^{-\frac{1}{2}} X_0 \begin{cases} \alpha A^{-\frac{1}{2}}, & \text{se } X_0 = \alpha I, \text{ con entovelni in RHF} \\ \alpha A^{\frac{1}{2}}, & \text{se } X_0 = \alpha A, \text{ con entovelni in RHF} \end{cases}$$

$$\Rightarrow \text{sign}(Y_0) = I \Rightarrow Y_k \rightarrow I \text{ per } k \rightarrow \infty$$

$$A^{-\frac{1}{2}} X_k \rightarrow I \text{ per } k \rightarrow \infty$$

$$X_k \rightarrow A^{\frac{1}{2}} \text{ per } k \rightarrow \infty$$

Numericamente, facile prendere proprietà che X_k convergono con A



$$X_{k+1} = g(X_k), \text{ dove } g(X) = \frac{1}{2}(X + X^{-1}A)$$

Lemma: $(X+E)^{-1} - X^{-1} = -X^{-1}EX^{-1} + O(\|E\|)$, quindi $L_{g,X}[E] = -X^{-1}EX^{-1}$, per $f(x) = x^{-1}$

$$(X+E)^{-1} - X^{-1} = (X+E)^{-1} (X - (X+E)) X^{-1} = -(X+E)^{-1}EX^{-1}$$

$$L_{g,X}[E] = \frac{1}{2} (E - X^{-1}EX^{-1}A)$$

$$\hat{L}_{g,X} = \frac{1}{2} (I_{n^2} - (X^{-1}A)^T \otimes X^{-1})$$

Il punto $A^{1/2}$ è un punto attrattivo per g se $\hat{L}_{g,A^{1/2}}$

le tute autovalori < 1

$$\hat{L}_{g,A^{1/2}} = \frac{1}{2} (I_{n^2} - (A^{1/2})^T \otimes A^{-1/2})$$

Possiamo prendere forme di Schur di $(A^{1/2})^T$ e $A^{-1/2}$,

ottenendo autovalori: $\underbrace{\frac{1}{2} - \frac{1}{2} \lambda_i^{1/2} \lambda_j^{-1/2}}_{i,j=1,\dots,n}$

di $\hat{L}_{g,A^{1/2}}$.

Facile trovare così in cui questi sono > 1 in modulo \Rightarrow insieme

